

# 烟碱型乙酰胆碱受体 $\alpha 7$ 亚基在帕金森病细胞模型中调控多巴胺神经元的作用机制

潘燕 杨越 丛丽娜 童书杰

**【摘要】目的** 分析烟碱型乙酰胆碱受体(Nicotinic acetylcholine receptors, nAChRs)  $\alpha 7$  对人神经母细胞瘤细胞(Human neuroblastoma cells, SH-SY5Y)增殖及凋亡的影响,阐明  $\alpha 7$ nAChR 可以通过正向调控多巴胺(Dopamine, DA)神经元的表达来发挥其生物学功能,从而治疗帕金森病。**方法** 本实验通过选取 SH-SY5Y 细胞系进行细胞培养、复苏、传代、制作帕金森病细胞模型以及细胞转染;实验分组为对照组、模型组、 $\alpha 7$ nAChR 过表达组、 $\alpha 7$ nAChR 过表达空载组;分别进行细胞增殖实验(Cell counting kit-8, CCK8)检测细胞活性;流式细胞术检测细胞凋亡;酶联免疫吸附测定(Enzyme-linked immuno sorbent assay, ELISA)检测多巴胺(DA)的表达水平;Western blot 检测  $\alpha 7$ nAChR、磷酸化钙调素依赖性蛋白激酶 2(Phosphorylated calmodulin kinase II, p-CAMKII)、磷酸化细胞外信号调节激酶(Phosphorylated extracellular signal regulated kinase, p-ERK)、磷酸化 Kirsten 大鼠肉瘤病毒癌基因同源物(Phosphorylated Kirsten rats arcomaviral oncogene homolog, p-Ras)的蛋白表达水平;免疫荧光检测酪氨酸羟化酶(Tyrosine hydroxylase, TH)、 $\alpha 7$ nAChR、 $\alpha$ -突触核蛋白(Alpha synuclein,  $\alpha$ SYN)的表达水平。**结果** Model 组  $\alpha 7$ nAChR 的蛋白表达水平较 Control 组显著降低( $P < 0.05$ ),而  $\alpha 7$ nAChR-OE 组的蛋白表达水平较 Model 组显著升高( $P < 0.05$ )。CCK8 表明, Model 组细胞的增殖活性较 Control 组显著降低( $P < 0.05$ ); $\alpha 7$ nAChR-OE 组细胞的增殖活性较 Model 组显著升高( $P < 0.05$ )。流式细胞术表明, Model 组细胞的凋亡率较 Control 组显著升高( $P < 0.05$ ); $\alpha 7$ nAChR-OE 组细胞的凋亡率较 Model 组显著降低( $P < 0.05$ )。Model 组的  $\alpha$ SYN 水平较 Control 组显著升高( $P < 0.05$ ); $\alpha 7$ nAChR-OE 组的  $\alpha$ SYN 水平较 Model 组显著降低( $P < 0.05$ )。Model 组的 TH,  $\alpha 7$ nAChR, DA 水平较 Control 组显著降低( $P < 0.05$ ); $\alpha 7$ nAChR-OE 组的 TH,  $\alpha 7$ nAChR, DA 水平较 Model 组显著升高( $P < 0.05$ )。Model 组的 Kirsten 大鼠肉瘤病毒癌基因同源物(Kirsten rats arcomaviral oncogene homolog, KRAS), CAMK II, ERK 的蛋白磷酸化水平较 Control 组显著升高( $P < 0.05$ ); $\alpha 7$ nAChR-OE 组的 KRAS, CAMK II, ERK 的蛋白磷酸化水平较 Model 组显著降低( $P < 0.05$ )。**结论**  $\alpha 7$ nAChR 的高表达能促进帕金森病模型细胞的增殖、抑制凋亡,且  $\alpha 7$ nAChR 可以通过抑制  $\text{Ca}^{2+}$ /CAMK/ERK 通路活性来发挥神经保护作用,提高 DA 神经元表达,改善帕金森病的症状。

**【关键词】** 烟碱型乙酰胆碱  $\alpha 7$  亚基 人神经母细胞瘤细胞 帕金森病

**【中图分类号】** R742.5 **【文献标识码】** A **【文章编号】** 1007-0478(2024)05-0457-08

**【DOI】** 10.3969/j.issn.1007-0478.2024.05.007

**The mechanism of nicotinic acetylcholine receptor  $\alpha 7$  subunit regulating dopamine neurons in Parkinson's cell model** Pan Yan, Yang Yue, Cong Lina, et al. Department of Neurology, Fifth Affiliated Hospital of Xinjiang Medical University, Urumuqi 830011

**【Abstract】 Objective** To investigate the effects of nicotinic acetylcholine receptors (nAChRs)  $\alpha 7$  on the proliferation and apoptosis of human neuroblastoma cells (SH-SY5Y), and to clarify that  $\alpha 7$ nAChR can exert its biological function by positively regulating the expression of dopamine (DA) neurons, so as to treat Parkinson's disease. **Methods** In this experiment, SH-SY5Y cell line was selected for cell culture, resuscitation, passage, production of Parkinson's cell model and cell transfection. The experimental subjects were divided into control group, model group,  $\alpha 7$ nAChR overexpression group, and  $\alpha 7$ nAChR overexpression no-load group. CCK8 was performed to detect cell activity. Flow cytometry was used to detect apoptosis. The expression of dopamine (DA) was detected by ELISA. The protein expressions of  $\alpha 7$ nAChR, p-CAMK II, p-ERK and p-Ras were detected by Western Blot Analysis. The expressions of TH,  $\alpha 7$ nAChR and  $\alpha$ SYN were

detected by immunofluorescence. **Results** The protein expression level of  $\alpha 7$ nAChR in Model group was significantly lower than that in Control group ( $P < 0.05$ ). The protein expression level in  $\alpha 7$ nAChR-OE group was significantly higher than that in Model group ( $P < 0.05$ ). The results of CCK8 showed that the cell proliferation activity in Model group was significantly decreased compared with that in control group ( $P < 0.05$ ). The cell proliferation activity in  $\alpha 7$ nAChR-OE group was significantly higher than that in Model group,  $P < 0.05$ . Flow cytometry showed that the apoptosis rate of cells in Model group was significantly higher than that in Control group ( $P < 0.05$ ). The apoptosis rate of  $\alpha 7$ nAChR-OE group was significantly decreased compared with that in Model group ( $P < 0.05$ ). The  $\alpha$ SYN in Model group was significantly increased compared with that in Control group ( $P < 0.05$ ). The  $\alpha$ SYN in  $\alpha 7$ nAChR-OE group was significantly decreased compared with that in Model group ( $P < 0.05$ ). The TH,  $\alpha 7$ nAChR and DA in Model group were significantly decreased compared with those in Control group ( $P < 0.05$ ). The TH,  $\alpha 7$ nAChR and DA in  $\alpha 7$ nAChR-OE group were significantly increased compared with those in Model group ( $P < 0.05$ ). The protein phosphorylation levels of KRAS, CAMK II and ERK in Model group were significantly increased compared with those in Control group ( $P < 0.05$ ). The protein phosphorylation levels of KRAS, CAMK II and ERK in  $\alpha 7$ nAChR-OE group were significantly decreased compared with those in Model group ( $P < 0.05$ ). **Conclusion** The high expression of  $\alpha 7$ nAChR can promote the proliferation and inhibition of the apoptosis in Parkinson's model cells. Besides,  $\alpha 7$ nAChR can play a neuroprotective role by inhibiting the activity of  $\text{Ca}^{2+}$ /CAMK/ERK pathway, increasing the expression of DA neurons, and improving Parkinson's disease.

**【Key words】** Nicotinic acetylcholine receptors (nAChRs)  $\alpha 7$  Human neuroblastoma cells Parkinson's disease

帕金森病(Parkinson's disease, PD)是老年人群中最常见的神经退行性疾病之一,是一类发病率仅次于阿尔茨海默病的第二常见的神经退行性疾病<sup>[1-2]</sup>;其发病因素复杂,发病机制尚不明确。目前有关PD的治疗只能改善症状,尚不能治愈,也无延缓疾病进展的方法。因此,深入研究PD的发病机制,针对性进行预防和治疗,对于降低发病率、致残率,改善患者生活质量具有重要意义。

目前随着对PD的不断研究发现,在中枢神经系统中胆碱能神经元和烟碱乙酰胆碱受体(nicotinic acetylcholine receptors, nAChRs)参与多种功能<sup>[3]</sup>。 $\alpha 7$ nAChR是神经系统中最丰富的nAChRs之一, $\alpha 7$ nAChR的激活可以通过增加多巴胺的释放和合成为改善PD患者的症状,可能的作用机制与 $\alpha 7$ nAChR刺激引发胞内钙离子水平变化,然后调控钙依赖信号通路有关。本研究拟通过体外细胞实验及检测 $\text{Ca}^{2+}$ 激活ERK信号通路的指标水平变化,分析 $\alpha 7$ nAChR可以通过抑制钙离子的分泌来抑制钙依赖信号通路,从而发挥神经保护作用,为帕金森病防治新靶点的探索提供理论依据。

## 1 材料与方法

### 1.1 材料

细胞培养选取SH-SY5Y细胞系,购自武汉巴

菲尔生物科技有限公司。

### 1.2 主要试剂

CCK-8检测试剂盒(C0038、碧云天生物科技有限公司);DA(Dopamine)ELISAKit(ELK7879,ELK Biotechnology);牛血清白蛋白(Bovine serum albumin, BSA)(141215、杭州天杭生物科技有限公司);抗荧光淬灭封片剂(1,4-Diazabicyclo-octane, DABCO)(V900155-25G, Sigma); $\alpha 7$ nAChR(21379-1-AP, Proteintech); $\alpha$ SYN(66412-1-Ig, Proteintech);TH(25859-1-AP, Proteintech);十二烷基硫酸钠-聚丙烯酰胺凝胶电泳(Sodium dodecyl sulfate polyacrylamide gel electrophoresis, SDS-PAGE)凝胶制剂盒(AS1012, ASPEN);p-CAMK II(Ab171095, Abcam);p-ERK(#4370, CST);p-KRAS(PA5-117257, ThermoFisher);细胞凋亡检测试剂盒(Annexin V-FITC/PI apoptosis detection kit, Annexin V-FITC)细胞凋亡检测试剂盒(AO2001-02P-G、天津三箭生物技术有限公司);荧光(Fluoforte)钙离子探针(ENZ-52014, ENZO)。

### 1.3 方法

#### 1.3.1 细胞培养

将SH-SY5Y细胞从液氮中取出,快速放入37°C水浴锅中,轻摇冻存管使冻存液溶解;溶解后把细胞转移到含有89%L-15培养基(LEIBOVITZ'S

L15-MEDIUM, L15) + 10% 胎牛血清(Fetal bovine serum, FBS) + 1% 双抗的培养基离心管中, 300 r/min 离心 5 min; 弃上清, 用新的完全培养基重悬细胞并种到新的培养瓶中, 于 37°C、5% 培养箱内培养。

### 1.3.2 细胞转染

转染前 1 d 每孔(6 孔板) $5 \times 10^5$  细胞接种于 2 mL 不含抗生素的培养基中; 转染时要求细胞汇合度为 60%~70%; 用 250  $\mu\text{L}$  优化的最低必须培养基(Optimized minimal essential medium, Opti-MEM)无血清培养基将 siRNA 或质粒分别稀释至所需水平, 轻轻混匀, 室温孵育 5 min; 使用前轻轻摇匀 Lipofectamine 2000, 取 5  $\mu\text{L}$  Lipofectamine 2000, 用 250  $\mu\text{L}$  Opti-MEM 无血清培养基稀释, 室温孵育 5 min; 将前 2 步稀释的质粒和 Lipofectamine 2000 混合(总体积 500  $\mu\text{L}$ ), 轻轻混匀, 室温放置 20 min; 在每孔细胞中加入 500  $\mu\text{L}$  转染液和 1500  $\mu\text{L}$  基础培养基, 轻轻摇匀; 37°C 培养 CO<sub>2</sub> 培养箱中培养, 转染 6 h 后细胞换完全培养基。

### 1.3.3 细胞干预

将细胞用胰酶消化后用完全培养基稀释成细胞悬液, 按每孔 2 mL 将细胞悬液加入 6 孔板中, 置于 37°C、5% CO<sub>2</sub> 培养箱中过夜培养; 细胞贴壁后按以下实验分组处理, 即正常对照组(Control 组): SH-SY5Y 在完全培养基中培养 24 h; 帕金森病细胞模型组(Model 组): 加入 75  $\mu\text{M}$  6-羟基多巴胺氢溴酸盐(6-Hydroxydopamine hydrobromide, 6-OHDA), 作用 24 h; 帕金森病细胞模型 + 过表达空载体( $\alpha$ 7nAChR-OE NC 组): 转染 6 h 后培养 24 h; 帕金森病细胞模型 +  $\alpha$ 7nAChR 过表达组( $\alpha$ 7nAhRC-OE 组): 转染 6 h 后培养 24 h。

### 1.3.4 CCK8 检测细胞活性

将不同分组的细胞于 37°C、5% CO<sub>2</sub> 培养箱中培养 24 h, 每孔加入 10  $\mu\text{L}$  CCK8, 置于 5% CO<sub>2</sub>、37°C 培养 3 h, 酶标仪测定各孔吸光值 OD<sub>450</sub>。

### 1.3.5 流式细胞术检测细胞凋亡

用不含乙二胺四乙酸(Ethylene diamine tetraacetic acid, EDTA)胰酶消化细胞后 300r/min, 4°C 离心 5 min 收集细胞; 用预冷的磷酸缓冲盐溶液(Phosphate buffer saline, PBS)洗涤细胞 2 次(1 mL PBS 重悬, 300 r/min 离心 5 min); 细胞沉淀用 300  $\mu\text{L}$  的 1 × Binding Buffer 重悬; 加入 5  $\mu\text{L}$  Annexin V-FITC, 混匀后避光孵育 10 min, 加入 5  $\mu\text{L}$  碘化丙啶(Propidium iodide, PI), 混匀后避光孵育 5 min; 1 h 内上机检测。

V-FITC, 混匀后避光孵育 10 min, 加入 5  $\mu\text{L}$  碘化丙啶(Propidium iodide, PI), 混匀后避光孵育 5 min; 1 h 内上机检测。

### 1.3.6 ELISA 检测多巴胺(DA)的表达水平

按照检测试剂盒说明书对多巴胺(DA)水平进行检测。

### 1.3.7 荧光(Fluoforte)法观察钙离子表达水平

细胞中加 10  $\mu\text{L}$  二甲基亚砜(Dimethyl sulfoxide, DMSO)溶解 50  $\mu\text{g}$  粉末, 用细胞培养液稀释, 按 1:1000 配制工作液; 37°C 水浴锅, 避光孵育 30 min, 细胞培养液洗 3 次; 滴加 4',6-二脒基-2-苯基吲哚二乳酸盐(4',6-Diamidino-2-phenylindole, DAPI)染核, 室温避光孵育 20~30 min, PBS 洗; 在荧光显微镜下观察拍照。

### 1.3.8 Western blot 检测 $\alpha$ 7nAChR, p-CAMK II, p-ERK, p-Ras 的蛋白表达水平

将不同分组细胞裂解、离心、二喹啉甲酸(Bicinchoninic acid, BCA)定量后检测  $\alpha$ 7nAChR, p-CAMK II, p-ERK, p-Ras 的蛋白表达水平; 配置 5% 浓缩胶和 12% 分离胶、样本变性加样、电泳和转膜, 将膜装入 5% 三羟甲基氨基甲烷盐酸盐结合吐温(Tris-buffered saline with tween, TBST)封闭液, 制置室温摇床 2 h, 加 5 mL 一抗(1:1000 稀释)稀释液, 4°C 过夜; 10 mL 二抗(1:10000 稀释)置于摇床上 2 h; 显色, 在暗室中压片曝光显影; 用 AlphaE-aseFC 软件分析目标带的光密度值, 分别计算检测蛋白条带与参比蛋白条带强度比值(%)。

### 1.3.9 免疫荧光检测 TH, $\alpha$ 7nAChR, $\alpha$ SYN 的表达水平

用 4% 多聚甲醛磷酸缓冲液固定 20 min, 滴加一抗(1:100 稀释), 4°C 孵育过夜, 加荧光花青素 3(Cyanine 3, CY3)标记羊抗兔 IgG 二抗(1:100 稀释), 37°C 水浴锅, 避光孵育 40 min, 滴加 DAPI 避光孵育 20 min, 对细胞进行染核, 用含抗荧光淬灭剂的封片液封片, 然后在荧光显微镜下观察采集图像。

### 1.3.10 统计学处理

利用 SPSS 25.0 软件, 所有数据以均数 ± 标准差( $\bar{x} \pm s$ )表示, 进行单因素方差分析, 采用 LSD 法进行两两比较, 检验水准  $\alpha = 0.05$ , 以  $P < 0.05$  为差异有统计学意义。

## 2 结 果

### 2.1 $\alpha$ 7nAChR 在帕金森病细胞模型中的表达水平

## 变化

Model 组  $\alpha 7$ nAChR 的蛋白表达水平较 Control 组显著降低 ( $P < 0.05$ ) (图 1); Model 组  $\alpha 7$ nAChR 的蛋白表达水平较 Control 组显著降低 ( $P < 0.05$ ), 而  $\alpha 7$ nAChR-OE 组的蛋白表达水平较 Model 组显著升高 ( $P < 0.05$ ) (图 1)。

### 2.2 $\alpha 7$ nAChR 高表达促进 PD 模型细胞的增殖, 抑制凋亡

Model 组细胞的增殖活性较 Control 组显著降低,  $P < 0.05$ ;  $\alpha 7$ nAChR-OE 组细胞的增殖活性较 Model 组显著升高 ( $P < 0.05$ ) (图 2); Model 组细胞的凋亡率较 Control 组显著升高 ( $P < 0.05$ );  $\alpha 7$ nAChR-OE 组细胞的凋亡率较 Model 组显著降低 ( $P < 0.05$ ) (图 2)。

### 2.3 $\alpha 7$ nAChR 高表达抑制 $\alpha$ SYN 表达、促进 TH、 $\alpha 7$ nAChR、DA 的表达

Model 组的  $\alpha$ SYN 水平较 Control 组显著升高 ( $P < 0.05$ );  $\alpha 7$ nAChR-OE 组的  $\alpha$ SYN 水平较 Model 组显著降低 ( $P < 0.05$ ) (图 3); Model 组的 TH,

$\alpha 7$ nAChR, DA 水平较 Control 组显著降低 ( $P < 0.05$ );  $\alpha 7$ nAChR-OE 组的 TH,  $\alpha 7$ nAChR, DA 水平较 Model 组显著升高 ( $P < 0.05$ ) (图 3)。

### 2.4 $\alpha 7$ nAChR 高表达抑制 KRAS、CAMK II、ERK 的蛋白磷酸化水平

Model 组的 KRAS, CAMK II, ERK 的蛋白磷酸化水平较 Control 组显著升高 ( $P < 0.05$ );  $\alpha 7$ nAChR-OE 组的 KRAS, CAMK II, ERK 的蛋白磷酸化水平较 Model 组显著降低 ( $P < 0.05$ ) (图 4)。

### 2.5 $\alpha 7$ nAChR 高表达抑制 $\text{Ca}^{2+}$ 的表达

Model 组的  $\text{Ca}^{2+}$  荧光强度较 Control 组显著升高 ( $P < 0.05$ );  $\alpha 7$ nAChR-OE 组的  $\text{Ca}^{2+}$  荧光强度较 Model 组显著降低 ( $P < 0.05$ ) (图 5)。

## 3 讨 论

配体门控离子通道包括一组受体, 它们在快速突触传递中发挥着核心作用, 而烟碱型乙酰胆碱受体属于一类介导快速通讯的受体。当兴奋突触后膜

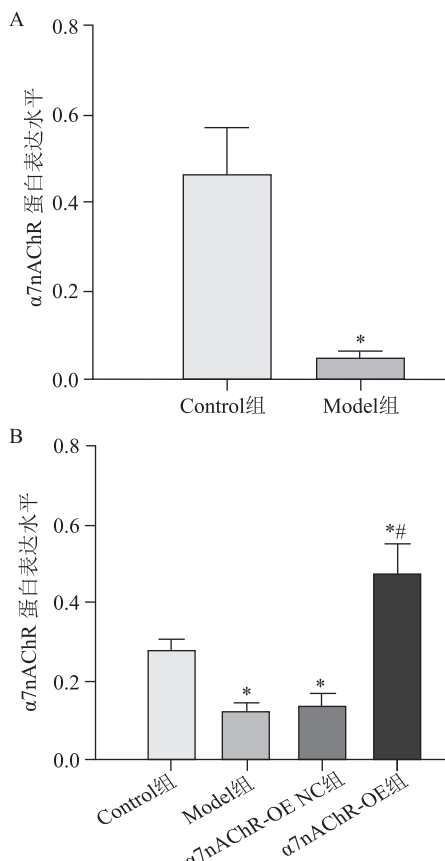
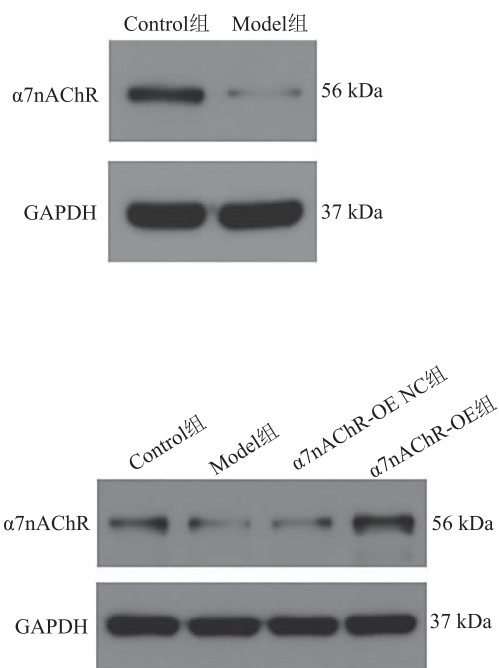


图 1  $\alpha 7$ nAChR 在 PD 模型细胞中的表达水平变化 A 为  $\alpha 7$ nAChR 在 Control 组及 Model 组中的蛋白表达水平; B 为验证  $\alpha 7$ nAChR 过表达转染效率; 与 Control 组比较, \*  $P < 0.05$ ; 与 Model 组比较, #  $P < 0.05$



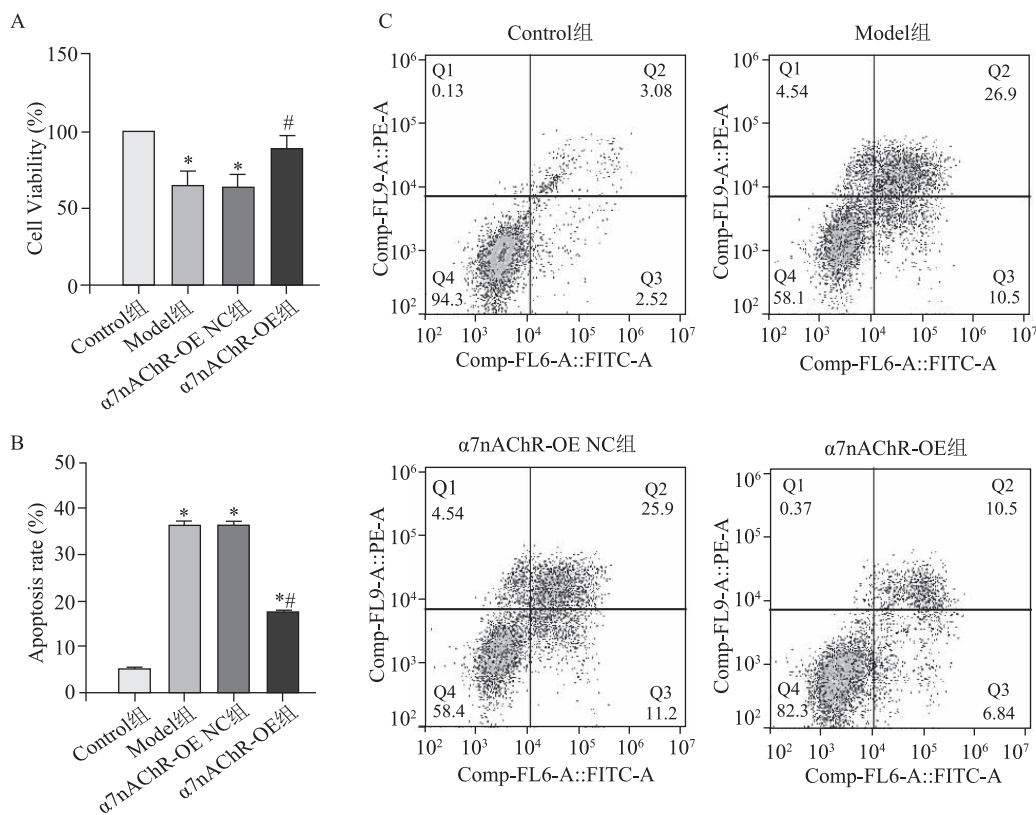


图 2  $\alpha 7$ nAChR 高表达促进 PD 模型细胞的增殖、抑制凋亡 A 为细胞增殖分析；B,C 为流式细胞凋亡率分析；与 Control 组比较, \*  $P < 0.05$ ; 与 Model 组比较, #  $P < 0.05$

的  $\alpha 7$ nAChR 不仅可以使突触后膜去极化直接兴奋神经元, 同时还可以调节  $\gamma$ -氨基丁酸( $\gamma$ -Aminobutyric acid, GABA) 的释放<sup>[4]</sup>。最近我们报道了  $\alpha 7$ nAChR 在帕金森病模型鼠内的 mRNA 和蛋白表达水平下调, 空间学习记忆能力明显下降。帕金森病模型鼠使用单唾液酸神经节苷脂(Monosialoganglioside, GM-1)后  $\alpha 7$ nAChR 的表达水平显著升高, 改善认知功能<sup>[5]</sup>。然而,  $\alpha 7$ nAChR 的激活是否可以增加多巴胺的释放和合成尚不明确。已有研究表明, 帕金森病的病理标志为  $\alpha$ -突触核蛋白( $\alpha$ -Synuclein,  $\alpha$ -syn)聚集, 多巴胺(Dopamine, DA)能神经元慢性丢失<sup>[6]</sup>。本研究结果表明,  $\alpha 7$ nAChR 的高表达可以促进细胞增殖活性, 抑制细胞凋亡; 同时通过对  $\alpha$ SYN, TH,  $\alpha 7$ nAChR 的免疫荧光实验发现,  $\alpha 7$ nAChR 的高表达抑制  $\alpha$ SYN 表达、促进 TH,  $\alpha 7$ nAChR, DA 的表达。这些数据表明  $\alpha 7$ nAChR 可以增加 TH 的表达, 改善  $\alpha$ SYN 的聚集, 促进多巴胺神经元的生成, 进而减轻 PD 的病理改变。

目前 PD 的病因尚不清楚, 但有证据表明  $\text{Ca}^{2+}$  稳态失调可能与 PD 有关。 $\text{Ca}^{2+}$  信号在神经元信号传导中起着至关重要的作用。近年来, 有研究认为

$\text{Ca}^{2+}$  稳态的改变在多巴胺能神经元变性中起关键作用<sup>[7]</sup>。例如, 在线粒体和内质网(Endoplasmic reticulum, ER)中  $\text{Ca}^{2+}$  稳态的变化影响神经元的存活, 这与 PD 密切相关<sup>[8]</sup>。此外, 异常高水平的细胞内 Free- $\text{Ca}^{2+}$  诱导自由基[如活性氧(Reactive oxygen species, ROS)]过量产生, 可激活应激级联及相关信号通路, 导致细胞凋亡<sup>[9]</sup>。小电导率的  $\text{Ca}^{2+}$  激活的  $K^+$  (Secretory K, SK)通道已成为神经元保护的潜在工具<sup>[10]</sup>。SK 通道亚型在神经系统中具有不同的药理作用和分布<sup>[11]</sup>; 它们在体内控制中脑多巴胺能神经元的放电模式<sup>[12]</sup>, 并在 PD 中观察到的多巴胺能神经元凋亡调节中可能发挥重要作用<sup>[13]</sup>。本研究结果表明, Model 组的  $\text{Ca}^{2+}$  荧光强度较 Control 组显著升高 ( $P < 0.05$ );  $\alpha 7$ nAChR-OE 组的  $\text{Ca}^{2+}$  荧光强度较 Model 组显著降低。这表明  $\alpha 7$ nAChR 高表达抑制  $\text{Ca}^{2+}$  的表达, 改善多巴胺神经元的变性, 抑制其损伤死亡。

$\text{Ca}^{2+}$  信号通路在包括 PD 在内的许多神经元疾病的神经元信号传导和  $\text{Ca}^{2+}$  稳态改变中起着至关重要的作用<sup>[14]</sup>。细胞内  $\text{Ca}^{2+}$  的水平升高迅速激活 CAMKII<sup>[15]</sup>。此外, CAMKII 广泛分布于包括中脑

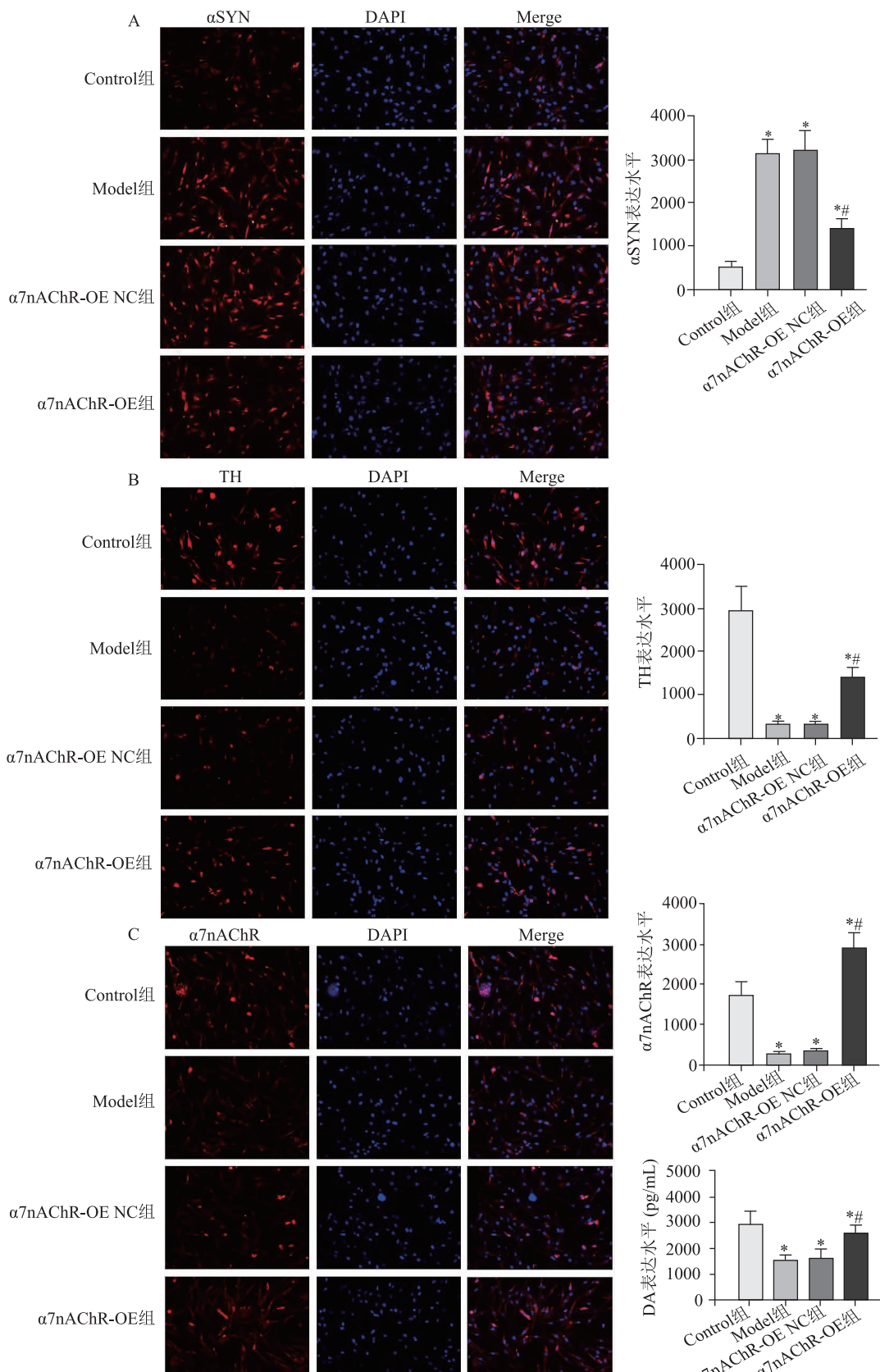


图 3 α7nAChR 高表达抑制 αSYN 表达、促进 TH, α7nAChR, DA 的表达。A 为 αSYN 水平的免疫荧光分析;B 为 TH 水平的免疫荧光分析;C 为 α7nAChR 水平的免疫荧光分析;D 为 DA 水平的分析;与 Control 组比较, \* P<0.05; 与 Model 组比较, \*\* P<0.05。

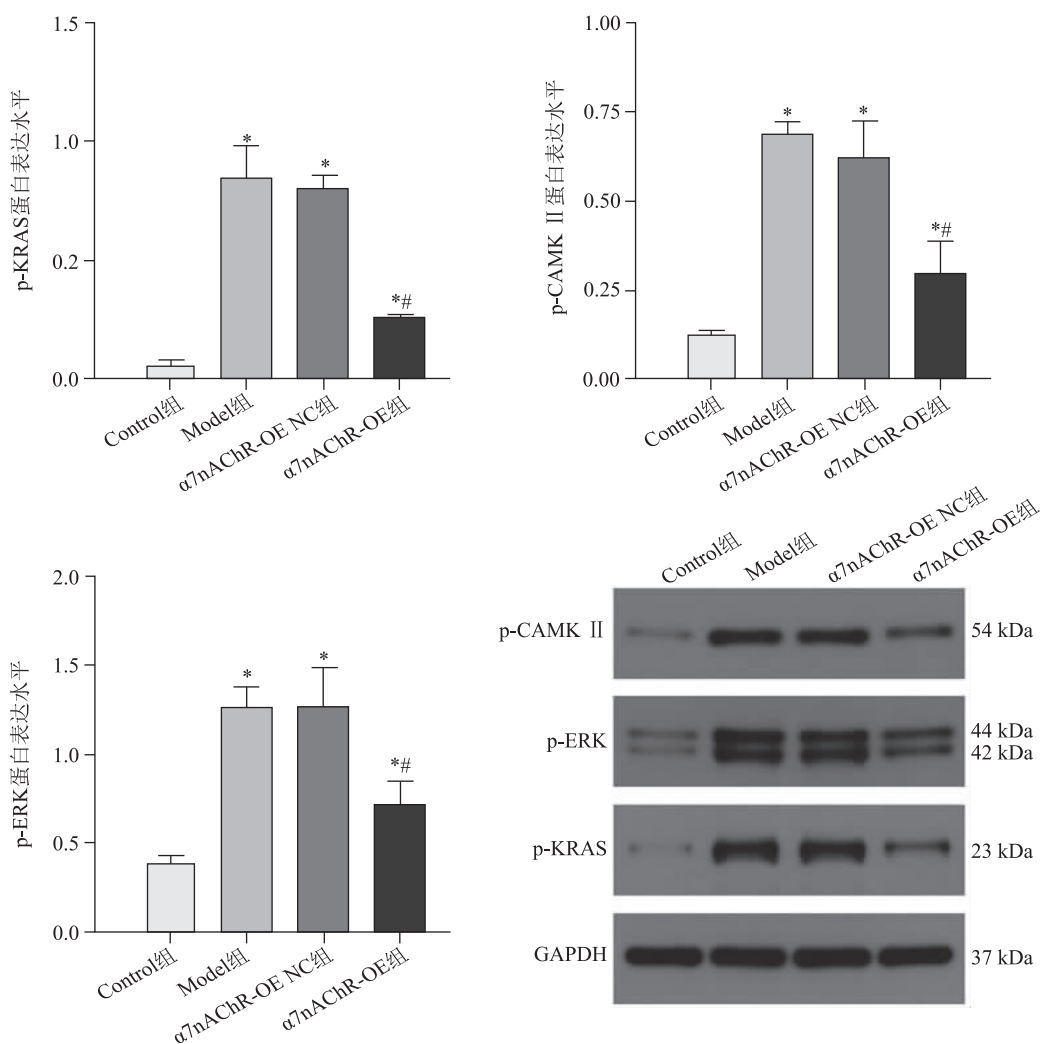


图 4  $\alpha 7$ nAChR 高表达抑制 KRAS, CAMK II, ERK 的蛋白磷酸化水平 与 Control 组比较, \*  $P < 0.05$ ; 与 Model 组比较, \*\*#  $P < 0.05$

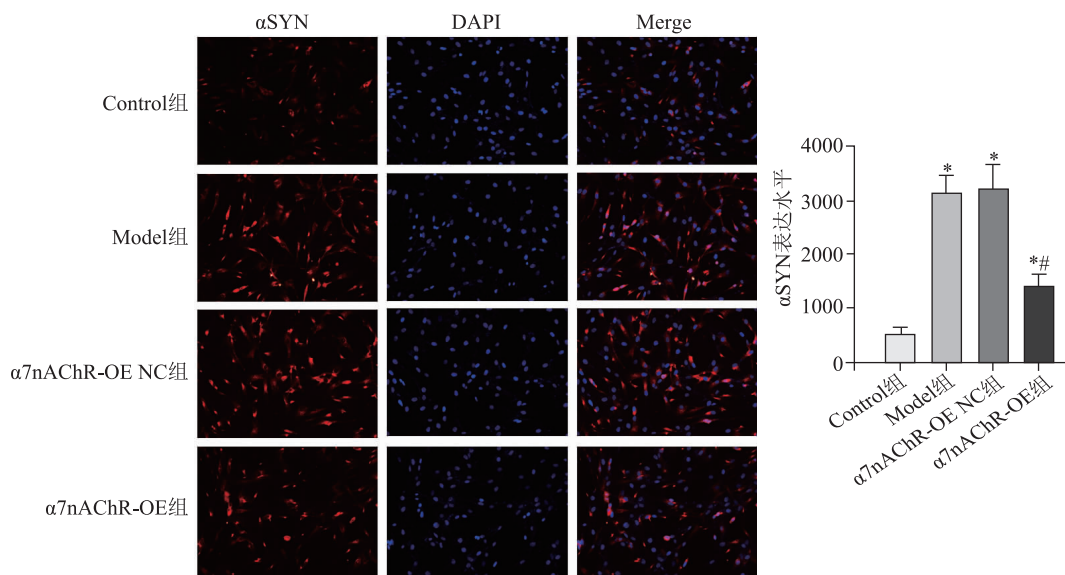


图 5  $\alpha 7$ nAChR 高表达抑制  $\text{Ca}^{2+}$  的表达

神经元在内的神经元中;  $\alpha 7$ nAChR 高表达可抑制细胞中 p-CAMKII 的表达; ERK 通路可以通过  $\text{Ca}^{2+}$  介导的 Ras 方式被激活。在帕金森病中 ERK 在 PD 模型大鼠黑质表达水平降低<sup>[16]</sup>。在 A53T 小鼠模型中 ERK 的表达水平也出现明显降低<sup>[17]</sup>。有报道表明 ERK 在帕金森病的病理状态中出现的错误表达可以诱导该疾病的发展。本研究结果表明, Model 组的 KRAS, ERK 的蛋白磷酸化水平较 Control 组显著升高( $P < 0.05$ );  $\alpha 7$ nAChR-OE 组的 KRAS, ERK 的蛋白磷酸化水平较 Model 组显著降低( $P < 0.05$ )。这表明  $\alpha 7$ nAChR 高表达抑制 KRAS, ERK 的蛋白磷酸化水平。

综上所述,  $\alpha 7$ nAChR 的高表达促进帕金森病模型细胞的增殖、抑制凋亡;  $\alpha 7$ nAChR 可以通过抑制钙离子的分泌及下游信号 ERK 通路的作用机制来发挥神经保护作用, 提高 DA 神经元表达, 改善帕金森病的症状。

## 参 考 文 献

- [1] de Campos BH, de Jager L, Reginato GS, et al. Cardiovascular evaluation of female rats with 6-OHDA-induced parkinsonism: possible protection by ovarian hormones and participation of nitric oxide[J]. Life Sci, 2020, 259:118259.
- [2] Jayaraj RL, Beiram R, Azimullah S, et al. Valeric acid protects dopaminergic neurons by suppressing oxidative stress, neuroinflammation and modulating autophagy pathways[J]. Int J Mol Sci, 2020, 21(20):7670.
- [3] Simon DK, Tanner CM, Brundin P. Parkinson disease epidemiology, pathology, genetics, and pathophysiology [J]. Clin Geriatr Med, 2020, 36(1):1-12.
- [4] 王东岩, 杨海永, 董旭, 等. 针刺调控  $\alpha 7$ nAChR 激活胆碱能抗炎通路的研究现状[J]. 上海针灸杂志, 2020, 39(1):116-122.
- [5] Yan P, Jing Z, Cong LA, et al. Expression of nAChR $\alpha 7$  receptor in model rats with Parkinson's disease dementia[J]. Biotechnol Biotechnol Equip, 2021, 35(1):117-123.
- [6] 肖琪, 樊慧杰, 李艳荣, 等. 帕金森病发病机制研究进展[J]. 解放军医学杂志, 2023, 48(8):983-992.
- [7] Sun YY, Zhang HP, Selvaraj S, et al. Inhibition of L-type  $\text{Ca}^{2+}$  channels by TRPC1-STIM1 complex is essential for the protection of dopaminergic neurons[J]. J Neurosci, 2017, 37(12):3364-3377.
- [8] Haque ME, Akther M, Azam S, et al. GPR4 knockout improves the neurotoxin-induced, caspase-dependent mitochondrial apoptosis of the dopaminergic neuronal cell[J]. Int J Mol Sci, 2020, 21(20):7517.
- [9] Jung S, Chung Y, Lee Y, et al. Buffering of cytosolic calcium plays a neuroprotective role by preserving the autophagy-lysosome pathway during MPP $^+$ -induced neuronal death[J]. Cell Death Discovery, 2019, 5(1):130.
- [10] Heine M, Heck J, Ciuraszkiewicz A, et al. Dynamic compartmentalization of calcium channel signalling in neurons[J]. Neuropharmacology, 2020, 169:107556.
- [11] Nam YW, Downey M, Rahman MA, et al. Channelopathy of small- and intermediate-conductance  $\text{Ca}^{2+}$ -activated  $\text{K}^+$  channels[J]. Acta Pharmacol Sin, 2023, 44(2):259-267.
- [12] DosSantos MF, Filha LGA, Veríssimo CP, et al. Presence of small-conductance calcium-activated potassium (SK) channels in the central and peripheral nervous systems and their role in health and disease[J]. J Integr Neurosci, 2023, 22(3):69.
- [13] Trombetta-Lima M, Krabbendam IE, Dolga AM. Calcium-activated potassium channels: implications for aging and age-related neurodegeneration[J]. Int J Biochem Cell Biol, 2020, 123:105748.
- [14] Egunlusi AO, Malan SF, SI, et al. Open and rearranged norbornane derived polycyclic cage molecules as potential neuroprotective agents through attenuation of MPP $^+$  and calcium overload-induced excitotoxicity in neuroblastoma SH-SY5Y cells [J]. Eur J Med Chem, 2020, 112617.
- [15] Wang JL, Xu XX, Jia WY, et al. Calcium-/calmodulin-dependent protein kinase II (CAMKII) inhibition induces learning and memory impairment and apoptosis[J]. Oxid Med Cell Longev, 2021, 2021:4635054.
- [16] 刘琼霜, 胡玉英. P38/JNK/ERK 通路对帕金森病发病机制的影响及其中医药治疗研究进展[J]. 湖南中医杂志, 2018, 34(6):174-176.
- [17] 刘自华, 王德贵, 李晓娟, 等. 转录组测序分析: 帕金森病小鼠 PI3K, ERK 和 P38 信号通路和代谢关系的研究[J]. 中华神经创伤外科电子杂志, 2021, 07(3):161-169.

(2024-02-26 收稿)

欢迎征订 欢迎投稿

欢迎垂询广告业务